

저궤도 위성망에서 스케줄링 기법에 따른 보안 성능 및 다이버시티 차수 분석

이 용재*, 이 영목*, 채승호**,
김태훈***, 방인규[○]

Secrecy Performance and Diversity Order with Scheduling Schemes in LEO Satellite Networks

Yongjae Lee*, Yeongmuk Lee*,
Seong Ho Chae**, Taehoon Kim***,
Inkyu Bang[○]

요약

본 논문에서는 저궤도 군집위성 네트워크 상황에서 위성 스케줄링 기법에 따른 물리계층보안 기술의 보안 성능을 조사한다. Nakagami-m 페이딩 채널 환경에서 위성의 스케줄링 기법에 따른 보안 아웃타이지 확률(Secrecy Outage Probability, SOP)을 분석하고, 제안 스케줄링 기법에 대한 보안 다이버시티 차수(Secrecy Diversity Order, SDO)를 유도하여 시스템의 접근적 성능을 고찰한다. MATLAB 기반 모의실험을 통해 위성 스케줄링이 보안 성능에 미치는 영향을 논의한다.

Key Words : Physical layer security, secrecy outage probability, secrecy diversity order, scheduling, LEO satellite network

ABSTRACT

This paper investigates physical layer security (PLS) considering satellite scheduling schemes in low Earth orbit (LEO) satellite networks. We analyze the secrecy outage probability (SOP) with Nakagami-m fading channel models, considering several satellite scheduling schemes. Furthermore, we derive the secrecy diversity order (SDO) for the proposed scheduling scheme and it provides asymptotic secrecy performance of the system. Finally, the effects of satellite scheduling schemes on both SOP and SDO are evaluated and discussed through extensive simulations using MATLAB.

I. 서 론

최근 무선 통신 시스템에서는 보안성에 대한 관심이 급격히 증가하고 있다. 특히, 위성 네트워크의 경우 넓은 서비스 범위와 높은 데이터 처리량으로 인해 안전한 통신 채널의 확보가 필수적인 과제로 떠오르고 있다^[1]. 통신 시스템에서 기준의 보안 방식은 주로 전통적인 암호화 기술을 활용하였으나, 위성의 하드웨어 제약으로 인해 새로운 형태의 보안 통신 방법 연구에 대한 필요성이 제기되고 있다. 물리계층보안(Physical Layer Security, PLS)은 무선 채널의 고유한 특성을 활용하여 물리계층 단에서 신호처리 기법으로 무선통신의 보안성을 높일 수 있는 연구분야로 각광을 받고 있다^[2]. 본 연구는 도청을 시도하는 공격자가 무인 항공기(Unmanned Aerial Vehicle, UAV)의 형태로 존재하는 상황에서 다수의 위성 중 데이터 전송에 적합한 위성을 선별하는 스케줄링 알고리즘의 보안 성능을 분석한다.

* 이 논문은 2022년도 정부(방위사업청)의 재원으로 국방기술진흥연구소의 지원(KRIT-CT-22-047, 우주계층 지능통신망 특화연구실)과 정부(과학기술정보통신부)의 재원으로 정보통신기획평가원 대학ICT연구센터(ITRC)의 지원을 받아 수행된 연구임 (IITP-2025-RS-2024-00437886, 50%).

◆ First Author : (ORCID:0009-0008-3157-7634) Hanbat National University, Dept. of Intelligence Media Engineering, yjlee@edu.hanbat.ac.kr, 학생회원

○ Corresponding Author : (ORCID:0000-0001-7109-1999) Hanbat National University, Department of Intelligence Media Engineering, ikbang@hanbat.ac.kr, 부교수, 종신회원

* (ORCID:0009-0003-8169-7451) Hanbat National University, Dept. of Computer Engineering, lee_ym@edu.hanbat.ac.kr, 학생회원

** (ORCID:0000-0001-9092-5039) Tech University of Korea, Dept. of Electronics Engineering, shchae@tukorea.ac.kr, 부교수, 종신회원

*** (ORCID:0000-0002-9353-118X) Hanbat National University, Dept. of Computer Engineering, thkim@hanbat.ac.kr, 부교수, 종신회원

논문번호 : 202507-150-B-LU, Received July 2, 2025; Revised July 23, 2025; Accepted July 23, 2025

II. 시스템 모델

본 연구에서는 단일 안테나를 갖춘 N 개의 저궤도(Low Earth Orbit, LEO) 군집위성, M_b 개의 안테나를 갖춘 지상 기지국(Ground Base Station, GBS) 및 M_e 개의 안테나를 갖춘 악의적인 무인 항공기(UAV)가 존재하는 상황을 가정한다. 악의적인 UAV의 목적은 위성에서 지상국으로 전송되는 신호를 도청하는 것이다. 위성 인덱스 $n \in \{1, \dots, N\}$ 에 대해서 위성 n 에서 GBS로의 채널 벡터를 $h_n \in C^{M_b \times 1}$ 로, 위성 n 에서 UAV의 채널 벡터를 $g_n \in C^{M_e \times 1}$ 로 정의한다.

본 연구에서는 채널 벡터의 각 요소를 모양(shape) 매개변수 m 과 척도(scale) 매개변수 Ω 를 갖는 Nakagami-m 확률 변수로 모델링하고 독립 동일 분포(independent and identically distribution, i.i.d.)를 가정 한다. Nakagami-m 채널 모델은 저궤도 위성 통신 관련 연구에서 많이 사용되고 있으며 위성 네트워크의 고속 이동성, 시야각 제약 등의 특징으로 인해 발생할 수 있는 무선 채널의 통계적 불확실성을 모델링할 수 있다^[3,4]. 예를 들어, Nakagami-m 채널 모델은 형상 매개변수 값과 척도 매개변수 값을 통해 위성과 지상국 사이의 가시성(LoS)과 비가시성(NLoS)의 영향을 조정할 수 있다.

GBS와 UAV는 최대비율결합(Maximum Ratio Combining, MRC) 수신기를 사용한다. GBS는 가장 높은 채널 이득을 가진 위성 n^* 을 스케줄링 하며, 이 스케줄링 기법을 MRC-Max 기법으로 명명한다. 이때, GBS와 UAV의 수신 신호 대 잡음비(Signal-to-Noise Ratio, SNR)은 각각 다음과 같다:

$$\gamma_b^* = \max_{n \in \{1, \dots, N\}} \rho_b \|h_n\|^2, \quad \|h_n\|^2 \sim \Gamma(mM_b, \theta),$$

$$\gamma_e^* = \rho_e \|g_n\|^2, \quad \|g_n\|^2 \sim \Gamma(mM_e, \theta),$$

여기서 $\theta = \Omega/m$, $\rho_b \doteq P_0/\sigma_b^2$, $\rho_e \doteq P_0/\sigma_e^2$ 이며, P_0 는 위성의 전송 전력, σ_b^2 와 σ_e^2 는 각각 GBS와 UAV에서의 평균 잡음 전력을 나타낸다. MRC-Max 기법은 선형 텁색으로 구현 가능하며 $O(N)$ 복잡도를 가진다. 또한 MRC-Max 기법은 GBS의 채널 정보(h_n)만을 이용하며 UAV의 채널 정보(g_n)를 사용하지 않는다.

GBS와 UAV에서 각각 달성 가능한 전송 속도와 이를 바탕으로 계산되는 보안 전송률(secrecy rate)은 다

음과 같다: $r_s = \max\{r_b - r_e, 0\}$, 여기서 r_b 와 r_e 는 $r_b = \log_2(1 + \gamma_b^*)$ 와 $r_e = \log_2(1 + \gamma_e^*)$ 을 의미한다.

최종적으로 R_0 의 보안 전송률 요구사항을 가정했을 때, 보안 아웃티지 확률(SOP)은 다음과 같다:

$$p_{so}(R_0) = \Pr\{r_s < R_0\} = \Pr\{\gamma_b < 2^{R_0}(1 + \gamma_e) - 1\}.$$

추가적으로 $R_0 = 0$ 으로 설정할 경우, 보안 아웃티지 확률($p_{so}(0) = \Pr\{\gamma_b < \gamma_e\}$)은 도청자 링크의 전송률인 r_e 이 지상국 링크의 전송률인 r_b 보다 큰 상황이 발생하는 확률을 의미하게 된다. 이는 가로채기 확률(intercept probability)로 다음과 같이 정의된다.

$$p_i = \Pr\{r_s < 0\} = \Pr\{\gamma_b < \gamma_e\}.$$

III. 보안 아웃티지 확률 분석

본 장에서는 위성 통신에서 MRC-Max 기법의 보안 아웃티지 확률과 다이버시티 차수를 분석한다.

3.1 보안 아웃티지 확률 분석

MRC-Max 스케줄링 기법을 사용했을 때, SNR γ_b^* 의 누적분포함수(Cumulative Distribution Function, CDF)는 다음과 같다:

$$F_{\gamma_b^*}(z) = [F_{\gamma_b}(z)]^N, \quad (1)$$

여기서 $F_{\gamma_b}(z) = 1 - e^{-\frac{z}{\rho_b \theta}} \sum_{k=0}^{mM_b-1} \frac{1}{k!} \left(\frac{z}{\rho_b \theta}\right)^k$ 이다.

따라서 SOP는

$$p_{so}(R_0) = \int_0^{\infty} F_{\gamma_b^*}(2^{R_0}(1+x) - 1) f_{\gamma_b^*}(x) dx, \quad (2)$$

로 표현되고, 악의적 UAV의 SNR γ_e^* 의 확률밀도함수(Probability Density Function, PDF)는 다음과 같다:

$$f_{\gamma_e^*}(x) = \frac{1}{\Gamma(mM_e)} \left(\frac{1}{\rho_e \theta}\right)^{mM_e} x^{mM_e-1} e^{-x/(\rho_e \theta)}.$$

분석의 용이성을 위해 $q(x)$ 를 다음과 같이 정의 하며, $q(x)$ 을 이용하면 수식 (1)은 다음과 같다.

$$q(x) = e^{-\frac{2^{R_0}(1+x)-1}{\rho_b\theta}} \sum_{k=0}^{mM_b-1} \frac{1}{k!} \left(\frac{2^{R_0}(1+x)-1}{\rho_b\theta} \right)^k,$$

$$[1-q(x)]^N = \sum_{w=0}^N \binom{N}{w} (-1)^w [q(x)]^w.$$

최종적으로 아래의 정리를 유도할 수 있다^[5].

정리 1: 주어진 N, m, Ω, R_0 과 다중 안테나 구성(M_b 및 M_e)에 대해, SOP는 다음과 같다.

$$p_{so}(R_0) = 1 - e^{-\frac{2^{R_0}-1}{\rho_b\theta}} \frac{1}{\Gamma(mM_e)} \left(\frac{1}{\rho_e\theta} \right)^{mM_e}$$

$$\times \sum_{w=0}^N \binom{N}{w} (-1)^w \sum_{K=0}^{w(mM_b-1)} \mu(w, K) \left(\frac{1}{\rho_b\theta} \right)^K$$

$$\times \sum_{j=0}^K \binom{K}{j} (2^{R_0}-1)^{K-j} 2^{R_0 j} \frac{\Gamma(mM_e+j)}{\left(\frac{2^{R_0}w}{\rho_b\theta} + \frac{1}{\rho_e\theta} \right)^{mM_e+j}},$$

여기서 $\mu(w, K)$ 는 다항식 $\sum_{k=0}^{mM_b-1} \frac{1}{k!} x^k$ 를 w 로 천벌루션한 x^k 의 계수이다.

3.2 다이버시티 차수 분석

본 절에서는 MRC-Max 스케줄링 기법의 접근적 성능(asymptotic performance)을 분석하기 위해 보안 다이버시티 차수(Secrecy Diversity Order, d_s)를 유도한다. 보안 다이버시티 차수는 높은 주 채널 SNR (ρ_b) 영역에서 보안 아웃티지 확률이 감소하는 속도를 나타내는 척도로, 무선 통신 시스템의 성능을 평가하는 중요한 지표 중 하나이다^[6]. 이는 다음과 같이 정의된다:

$$d_s = \lim_{\rho_b \rightarrow \infty} \frac{\log p_{so}(R_0)}{\log \rho_b}.$$

다이버시티 차수를 구하기 위해, $\rho_b \rightarrow \infty$ 일 때 $F_{\gamma_b}(z)$ 의 접근적 특성을 분석해야 한다. 먼저 $F_{\gamma_b}(z)$ 에서, $a_b = mM_b$ 라 하고, $u = z(\rho_b\theta)^{-1}$ 로 치환하면, $F_{\gamma_b}(z)$ 은 다음과 같이 표현할 수 있다.

$$F_{\gamma_b}(z) = 1 - e^{-u} \sum_{k=0}^{a_b-1} \frac{u^k}{k!} = 1 - Q(u).$$

$\rho_b \rightarrow \infty$ 면 $u \rightarrow 0$ 면, $u \ll 1$ 일 때, e^{-u} 와 $\sum_{k=0}^{a_b-1} \frac{u^k}{k!}$ 를 테일러 급수(Taylor series)로 전개하여 $Q(u)$ 를 근사하면, 다음과 같이 주어진다^[5].

$$Q(u) \approx 1 - \frac{1}{a_b!} u^{a_b}.$$

따라서, 단일 위성 채널 SNR의 CDF는 $\rho_b \rightarrow \infty$ 일 때 다음과 같이 근사된다.

$$F_{\gamma_b}(z) = 1 - Q(u) \approx \frac{1}{a_b!} u^{a_b} = \frac{1}{(mM_b)!} \left(\frac{z}{\rho_b\theta} \right)^{mM_b}.$$

식 (1)에서, 높은 ρ_b 영역에서 $F_{\gamma_b}(z)$ 는 다음과 같이 근사할 수 있다.

$$F_{\gamma_b}(z) \approx \left[\frac{1}{(mM_b)!} \left(\frac{z}{\rho_b\theta} \right)^{mM_b} \right]^N.$$

$$= \left(\frac{1}{(mM_b)!} \right)^N \left(\frac{1}{\rho_b\theta} \right)^{NmM_b} z^{NmM_b}$$

식 (2)에 위 근사식을 대입하면,

$$p_{so}(R_0) \approx \left(\frac{1}{\rho_b\theta} \right)^{NmM_b} \int_0^{\infty} \left(\frac{1}{(mM_b)!} \right)^N (2^{R_0}(1+x)-1)^{NmM_b} f_{\gamma_e}(x) dx.$$

위 식에서 적분 부분은 ρ_b 와 무관한 상수값을 가진다. 따라서,

$$p_{so}(R_0) \propto (\rho_b)^{-NmM_b}.$$

결론적으로, 제안된 MRC-Max 스케줄링 기법의 보안 다이버시티 차수는 다음과 같다.

$$d_s = NmM_b, \quad (3)$$

이는 보안 다이버시티 차수가 선택 가능한 위성의 수(N), Nakagami-m 페이딩 파라미터(m), 그리고 GBS의 안테나 수(M_b)의 곱에 비례함을 의미한다.

IV. 모의실험 결과

본 장에서는 MRC-Max 기법을 두가지 기준 기법과 비교하여 보안 아웃티지 확률(SOP)을 비교한다.

(1) MRC-Max(제안기법): GBS는 MRC 수신기를 사용하고 N 개의 후보 위성 중 가장 좋은 위성을 선택한다. 정리 1의 이론적인 성능도 함께 검증한다.

(2) SISO(단일 안테나): 단일 안테나 상황에서 N 개의 후보 위성 중 가장 좋은 위성을 선택한다.

(3) MRC: 스케줄링 없이 MRC 수신기를 사용한다.

그림 1의 모의실험에서는 Nakagami-m 매개변수를 $m = 3$, $\Omega = 1$, $M_b = 2$ 로 설정하고, UAV의 SNR은 $\rho_e = 10 dB$ 로 고정한다. 또한, 보안 전송률 요구사항은 $R_0 = 1 bps/Hz$, 군집 위성의 수는 $N = 4$, 반복 횟수는 10^8 으로 설정한다. GBS의 SNR ρ_b 의 변화에 따른 SOP 성능을 살펴봤을 때 MRC-Max 기법이 단일 안테나 및 MRC 기법에 비해 더 우수한 보안 성능을 달성하는 것을 확인할 수 있다. 또한 정리 1의 유도 결과가 모의실험 결과와 일치하는 것과 SNR ρ_b 값이 커질 때 다이버시티 차수 $d_s = NmM_b = 24$ 의 근사 성능을 달성할 수 있다는 것을 함께 확인할 수 있다.

그림 2의 모의실험에서는 Nakagami-m 매개변수를 $m = 1$ 과 $m = 10$ 인 두 경우를 고려하고 있으며, 이외의 설정 값은 그림 1과 동일한 값을 사용한다. 모의실험 결과 LoS 성분이 강할수록(즉, m 값이 큰 경우) 모든 기법의 SOP 성능이 우수한 것을 확인할 수 있다. 또한 다양한 m 값을 통해 위성 통신 상황에서 발생할 수 있는 무선 채널의 통계적 불확실성을 반영한 모의실험이 가능하다는 것을 확인할 수 있다. 따라서 실제 위성 통

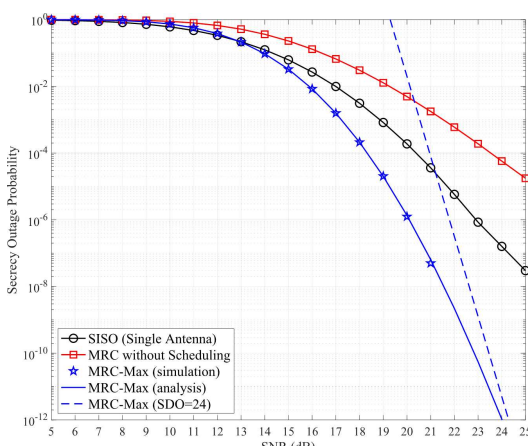


그림 1. SNR에 따른 보안 아웃티지 확률(SOP)
Fig. 1. SOP with SNR

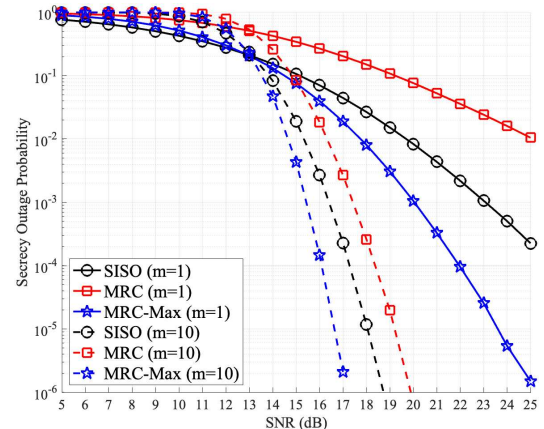


그림 2. m 값에 따른 보안 아웃티지 확률(SOP)
Fig. 2. SOP with different m values

신 운영에 상황을 모델링하는 m 값의 범위(예: 1~10)를 추정할 경우 이를 토대로 목표 SOP 성능을 달성하기 위한 보안 전송 기법의 활용 방안을 추가적으로 논의해 볼 수 있다.

그림 3의 모의실험은 보안 전송률 요구사항을 제외한 나머지 설정 값이 그림 1의 설정 값과 동일한 설정 값을 사용하고, 보안 전송률 요구사항이 0인 가로채기 확률의 결과를 나타낸다. 군집 위성의 수는 $N = 10$, UAV의 SNR을 $\rho_e = 10 dB$ 으로 설정하고 지상국의 채널 링크의 SNR은 UAV의 SNR과 비슷한 수준(5~15 dB)으로 설정했을 때 위성 스케줄링을 사용할 경우(MRC-Max, SISO), 스케줄링을 사용하지 않은 경우와 비교했을 때 악의적 사용자의 가로채기 확률을 현저히 줄일 수 있는 것을 확인할 수 있다.

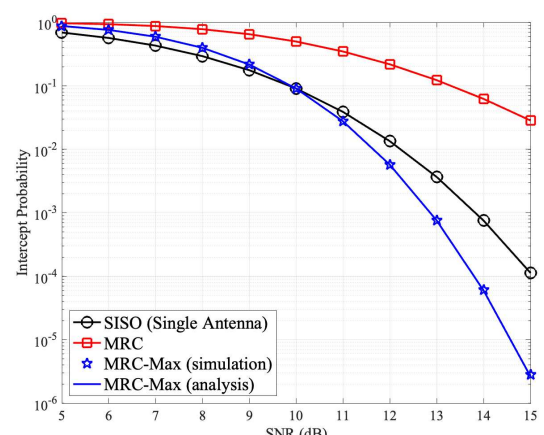


그림 3. SNR에 따른 가로채기 확률
Fig. 3. Intercept probability with SNR

V. 결 론

본 논문은 LEO 위성 네트워크에서 스케줄링 방식에 따른 SOP를 분석하고, Nakagami-m 페어링 채널에서 SOP의 폐쇄형 표현과 이론적 SDO를 유도하였다. 본 논문에서 도출한 정리 1의 결과를 통해 위성 통신 상황에서 다중 안테나와 위성 스케줄링이 보안 성능에 미치는 영향을 수식적으로 분석하고, 다이버시티 차수 분석 결과를 통해 시스템 설정 값에 따라 직관적으로 이해 가능한 근사적 성능(SDO)을 도출하였다.

References

- [1] P. Porambage, et al., “The roadmap to 6G security and privacy,” *IEEE Open J. Commun. Society*, vol. 2, pp. 1094-1122, 2021.
- [2] M. Bloch and J. Barros, “*Physical-Layer Security: From Information Theory to Security Engineering*,” Cambridge University Press, 2011.
- [3] J. Park, et al., “A tractable approach to coverage analysis in downlink satellite networks,” *IEEE Trans. Wireless Commun.*, vol. 22, no. 2, pp. 793-807, Feb. 2023.
- [4] A. Ospanova, et al., “Delay-outage analysis of multi-LEO satellites communication system,” in *IEEE Access*, vol. 11, pp. 124509-124523, Nov. 2023.
- [5] I. Gradshteyn and I. Ryzhik, “*Table of integrals, series, and products*. London,” UK: Academic Press, 2003.
- [6] Y. Zou, et al., “Secrecy outage and diversity analysis of cognitive radio systems,” *IEEE J. Sel. Areas in Commun.*, vol. 32, no. 11, pp. 2222-2236, Nov. 2014.